

COMUNE DI BRINDISI



Realizzazione di un impianto Agrovoltaico della potenza in DC di 17,998 MW e AC di 15,000 MW, denominato "BARONINUOVI", in località Casignano nel comune di Brindisi e delle relative opere di connessione alla Rete di Trasmissione dell'energia elettrica Nazionale (RTN), nell'ambito del procedimento P.U.A. ai sensi dell'art. 27 del D.Lgs. 152/2006 e s.m.i.

ELABORATO: Relazione impatti cumulativi NOME DOCUMENTO: BAN_29_Relazione impatti cumulativi	Relazione impatti cumulativi	DATA: Ottobre 2021
		POTENZA DC 17,998 MW POTENZA AC 15,000 MW
		SCALA :

TIMBRO E FIRMA 	TECNICO: Ing. Alessandro Massaro	SVILUPPATORE  enne. pi. studio s.r.l. 70132 Bari - Lungomare IX Maggio, 38 Tel. + 39.080.5346068 e-mail: pietro.novielli@ennepistudio.it
---	-------------------------------------	---

02					
01					
00		Prima emissione	Ing. Alessandro Massaro	Ing. Alessandro Massaro	Baroninuovi Srl
N.	DATA	DESCRIZIONE	ELABORATO	VERIFICATO	APPROVATO



BARONINUOVI SRL

PEC: baroninuovi@pec.it T: +39 02 45440820

SOMMARIO

1. <u>PREMESSA</u>	3
2. <u>INQUADRAMENTO DEL SITO RISPETTO ALLE STRADE LIMITROFE E CONTESTO PAESAGGISTICO</u>	3
3. <u>IMPATTI CUMULATIVI SU SUOLO E SOTTOSUOLO</u>	3
4. <u>ALTRE CONSIDERAZIONI CIRCA GLI IMPATTI CUMULATIVI</u>	9

1. PREMESSA

In questa relazione vengono mostrati gli aspetti legati all' impatto cumulativo dell'area di intervento "Baroninuovi".

2. INQUADRAMENTO DEL SITO RISPETTO ALLE STRADE LIMITROFE E CONTESTO PAESAGGISTICO

Il progetto mostrato è inerente un impianto per la produzione di energia elettrica da fonte rinnovabile solare tramite conversione fotovoltaica, della potenza nominale in DC di 17,998 MW e potenza in AC di 15 MW denominato "Baroni Nuovi" in Località Bosco di Casignano nel Comune di Brindisi. Si riporta di seguito un inquadramento su ortofoto.

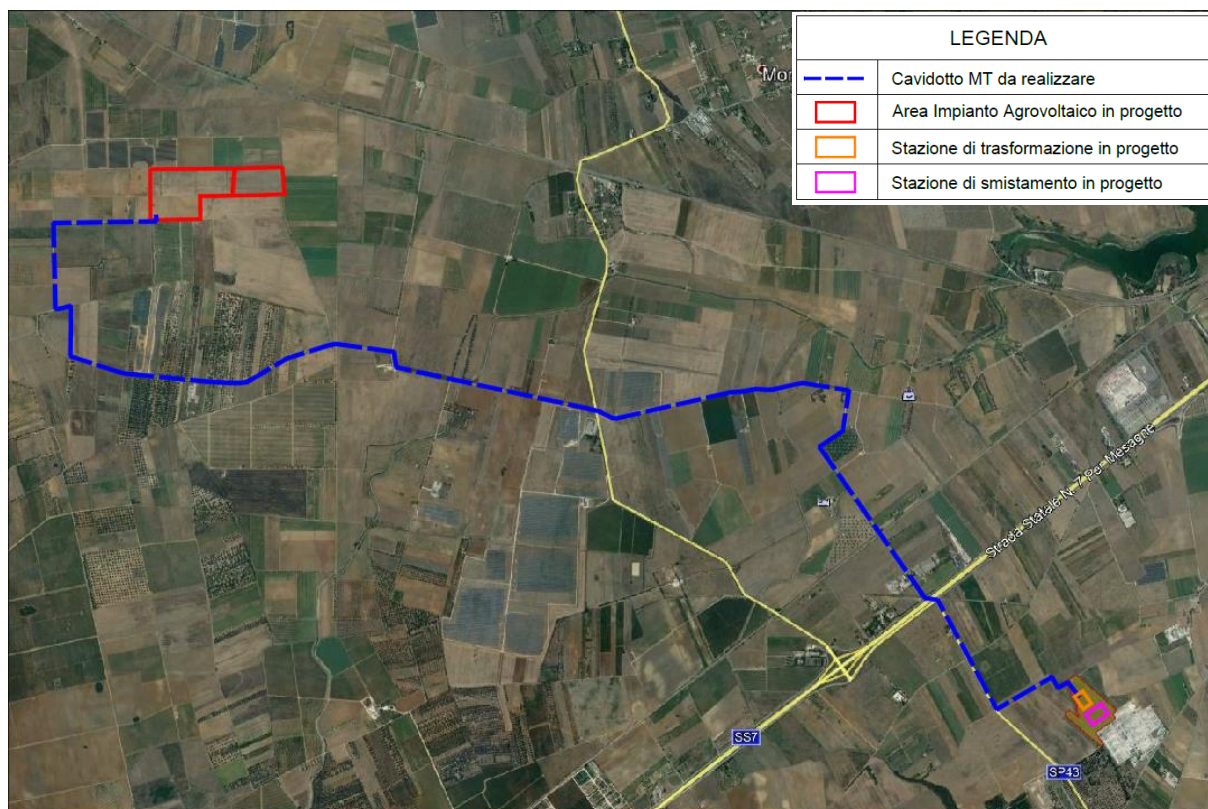


Figura: Localizzazione del sito "Baroninuovi" e della Stazione elevazione/smistamento.

Il lato nord del campo si affaccia su una linea ferroviaria, e il paesaggio circostante è prevalentemente di tipo agricolo, costituito principalmente da terreni coltivati e di altri lasciati incolti. In prossimità vi è anche qualche fotovoltaico

3. IMPATTI CUMULATIVI SU SUOLO E SOTTOSUOLO

Per quanto concerne gli impatti cumulativi su suolo e sottosuolo - I sottotema: consumo di suolo, secondo la DGR 2122 del 23/10/2012 e l'atto dirigenziale regionale di attuazione determinazione interdirigenziale n. 162 del 6 giugno 2014, è necessario rispettare due condizioni del "criterio A":

- Indice non superiore a 3;
- Consumo di suolo non superiore a 2-3%.

Il riferimento per la Valutazione di Impatto cumulativa legata al consumo e all'impermeabilizzazione di suolo, con considerazione anche del rischio di sottrazione suolo fertile e di perdita di biodiversità dovuta all'alterazione della sostanza organica del terreno, è costituito dalle Aree vaste individuate al sottotema I / Criterio A (Fotovoltaico con fotovoltaico) delle allegate direttive tecniche di cui alla DD162/2014:

All'interno della AVA si effettua la verifica speditiva legata all'Indice di Pressione Cumulativa:

$$IPC = [100 \times SIT / AVA] \leq 3$$

dove SIT è la sommatoria delle superfici degli impianti fotovoltaici appartenenti al dominio degli impianti da considerare per la valutazione degli impatti cumulativi e IPC costituisce un'indicazione di sostenibilità sotto il profilo dell'impegno di SAU (superficie agricola utile). La verifica speditiva consiste nel verificare che IPC sia non superiore a 3. Si riportano di seguito i commenti dell'elaborato: *"BAN_52_Elaborato grafico_impianti cumulativi"*

NB: Questa tavola riporta l'ubicazione degli eventuali impianti fotovoltaici ed eolici, "di produzione di energia a livello industriale, nonché di impianti di accumulo", di potenza anche inferiore a 1MW, già realizzati, autorizzati o presentati alla pubblica amministrazione ai fini autorizzativi, nel raggio di almeno 5 Km dal sito di intervento, in cui sia indicata la superficie occupata e la potenza installata per ciascun impianto.

Di seguito si riporta la base conoscitiva utilizzata per la redazione di tale tavola:

- Anagrafe FER del SIT Puglia per tutti quegli impianti fotovoltaici ed eolici di potenza superiore a 1 MW aventi le seguenti caratteristiche: realizzati, non realizzati ma con iter di Autorizzazione Unica chiuso positivamente, non realizzati ma con iter di Valutazione di Impatto Ambientale chiuso positivamente;
- Progetti in istruttoria VIA pubblicati sul sito ufficiale della Provincia di Brindisi - Settore Ambiente ed Ecologia, considerando quei progetti con data di attivazione della procedura di VIA antecedente alla data di attivazione del procedimento del presente progetto;
- Non essendoci una anagrafica ufficiale degli impianti di potenza inferiore a 1 MW e degli impianti di accumulo, per determinare la presenza di tali impianti si è fatto uso dell'Ortofoto Google (Luglio 2018).

Non si sono presi in considerazione gli impianti sui tetti perché essi vanno in autoconsumo.

IPC (calcolato secondo linee guida ARPA Puglia) = $100 \times SIT / AVA = * 1,854$

(*) Al valore SIT, in riferimento agli impianti fotovoltaici realizzati, viene applicato un coefficiente riduttivo pari a 0,6. In questo modo viene considerata e calcolata ai fini del valore IPC, soltanto l'area realmente occupata dai pannelli FV, per gli impianti considerati all'interno dell'area del raggio AVA

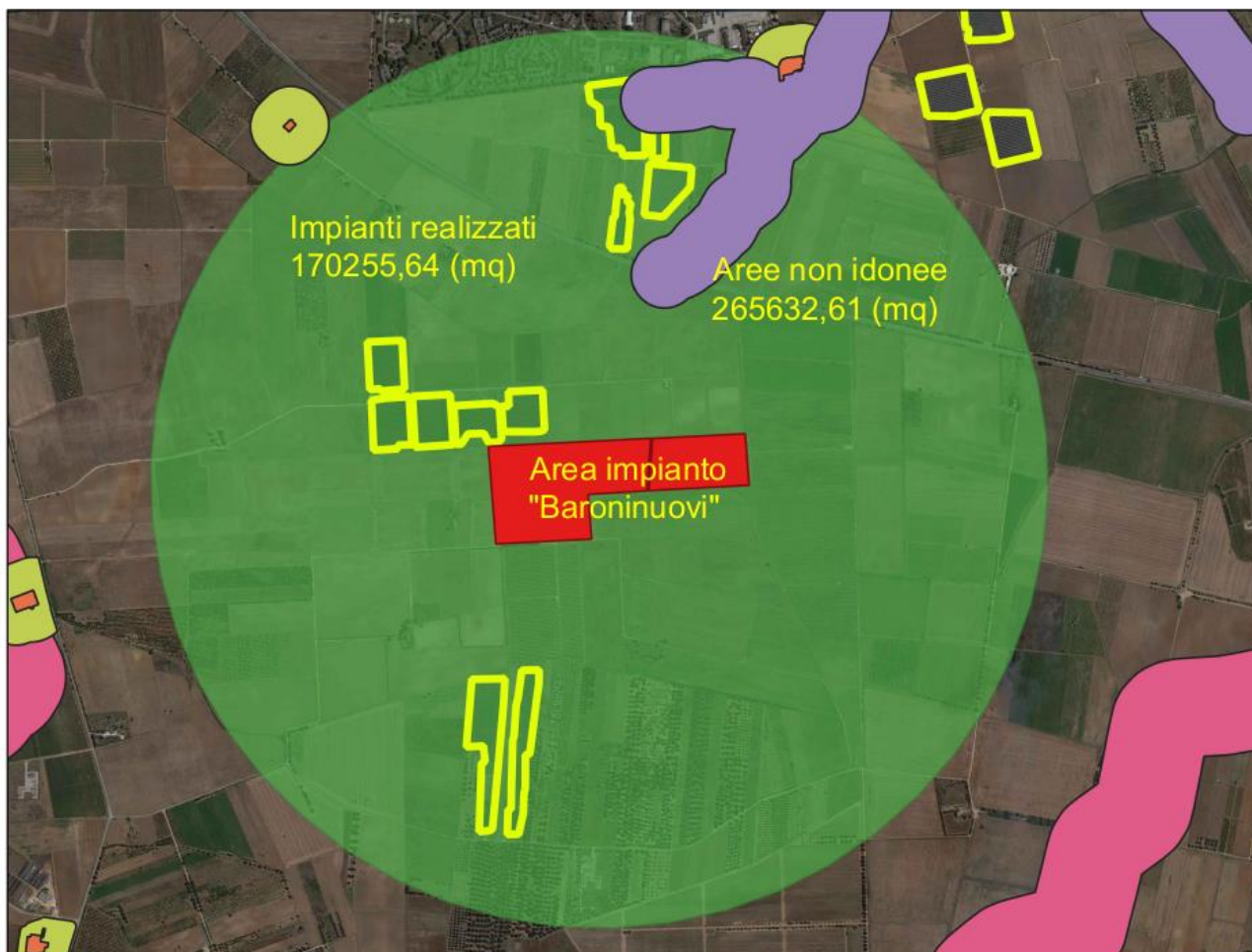
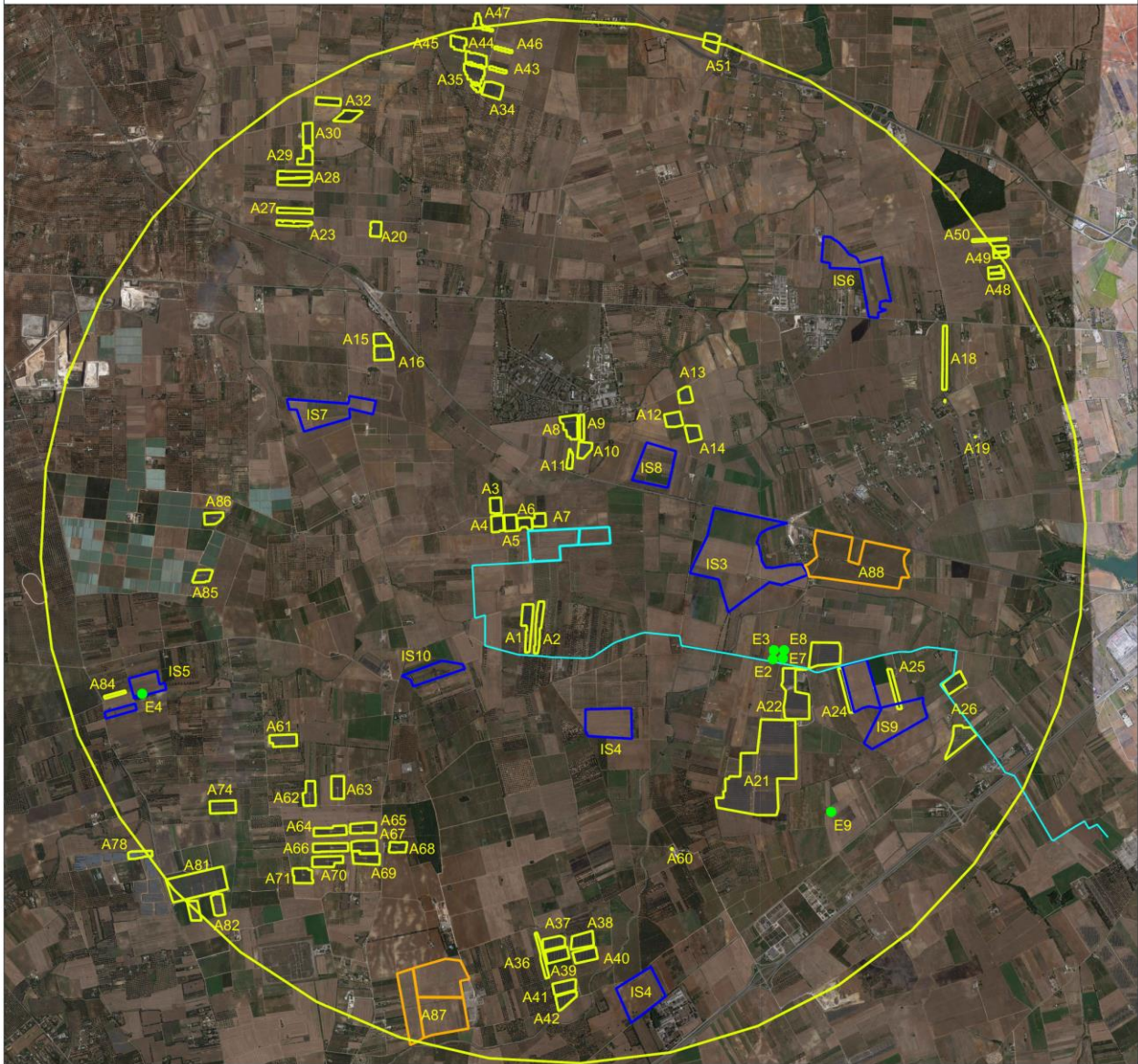


Figura: area di Valutazione Ambientale impianto "Baroninuovi" per la valutazione del "consumo di suolo", nell'area cerchiata non si riscontrano elementi di impianto eolico.

CARTOGRAFIA IMPIANTI FER DGR 212 CON SOVRAPPOSIZIONE ORTOFOTO 2019: CAMPI FOTOVOLTAICI NEL RAGGIO DI 5KM (SCALA 1:25000)



Legenda - Analisi alla data del 12/10/2021

FOTOVOLTAICO - Area Impianti

-  Impianto realizzato
-  Impianto con iter di autorizzazione unica chiuso positivamente - Autorizzazione scaduta
-  Impianto in fase di istruttoria
-  Impianto Eolico
-  Linea di connessione Impianto

Campo agrovoltaico
BARONINUOVI SRL



Tabella Riassuntiva

Impianti	Totale area [mq]	Totale MW
Impianti FV realizzati	1.939.876	83,423
Impianti FV Autorizzati ma NON realizzati	711.329	33,548
Eolici	1.600	0,389
Impianti FV in fase di istruttoria VIA	1.329.731	93,028
Totale	3.982.536	210,388

Figura: impianti nel raggio dei 5 km.

Si riportano di seguito i dati dell'analisi inerenti le figura di sopra:

N.	Codice impianto	Superficie impianto (mq)	Potenza (MW)	Stato impianto
A1	(FCOMB18011840_08)	28.586	0,952	Realizzato
A2	(FCOMB18083102_09)	20.976	0,743	Realizzato
A3	(FCOMB18019_07)	14.338	0,649	Realizzato
A4	(FCOMB18032_07)	16.538	0,777	Realizzato
A5	(FCOMB18021_07)	16.456	0,810	Realizzato
A6	(FCOMB18038_07)	13.067	0,615	Realizzato
A7	(FCOMB18026_07)	13.750	0,615	Realizzato
A8	(FCOMB1809750_08)	25.263	0,954	Realizzato
A9	(FCOMB18043719_08)	8.769	0,477	Realizzato
A10	(FCOMB18041636_08)	15.264	0,999	Realizzato
A11	(FCOMB1809748_08)	8.750	0,477	Realizzato
A12	(FCOMB18041639_08)	19.364	0,999	Realizzato
A13	(FCOMB18041641_08)	19.018	0,999	Realizzato
A14	(FCOMB18017009_10)	17.441	0,477	Realizzato
A15	(FCOMB1805933_07)	19.707	0,250	Realizzato
A16	(FCOMB1805935_07)	24.140	0,300	Realizzato
A17	(FCOMB18057035_08)	21.392	0,725	Realizzato
A18	Impianto industriale	30	0,005	Realizzato
A19	Impianto industriale	40	0,006	Realizzato
A20	F/COMB180/43550_08	14.351	0,988	Realizzato
A21	(F11008)			
A22	(F3109)	420.888	24,972	Realizzato
A23	F/COMB180/43549_08	15.021	0,99	Realizzato
A24	(FCOMB18048595_08)	20.026	0,993	Realizzato
A25	(FCOMB18049184_07)	17.545	0,993	Realizzato
A26	(FCOMB18064813_07)	67.471	0,999	Realizzato
A27	(FCOMB18030_07)	15.030	0,636	Realizzato
A28	(FCOMB18023_07)	40.297	0,843	Realizzato
A29	F/COMB180/35_07	16.398	0,985	Realizzato
A30	F/COMB180/41_07	19.330	0,972	Realizzato
A31	F/COMB180/87429_07	18.356	0,729	Realizzato
A32	F/COMB180/15_07	17.051	0,680	Realizzato
A33	F/COMB180/9185_08	23.319	0,777	Realizzato
A34	F/COMB180/15120_08	4.039	0,136	Realizzato
A35	F/COMB180/2178_08	25.829	0,954	Realizzato
A36	F/COMB180/57025_08	12.039	0,278	Realizzato
A37	(FCOMB18057030_08)	20.901	0,733	Realizzato
A38	(FCOMB18057021_08)	25.515	0,914	Realizzato
A39	(FCOMB18057023_08)	23.381	0,815	Realizzato
A40	(FCOMB18057037_08)	23.384	0,835	Realizzato
A41	(FCOMB18057038_08)	24.300	0,823	Realizzato
A42	(FCOMB18057031_08)	20.304	0,653	Realizzato
A43	F/COMB180/40801_08	6.167	0,176	Realizzato
A44	F/COMB180/4979_08	21.581	0,753	Realizzato
A45	F/COMB180/9191_08	17.140	0,605	Realizzato
A46	F/COMB180/49800_08	5.231	0,153	Realizzato
A47	F/COMB180/57018	11.222	0,401	Realizzato
A48	F/COMB180/52663_08	16.486	0,949	Realizzato
A49	F/COMB180/5265B_08	18.111	0,998	Realizzato
A50	F/COMB180/57018_08	5.781	0,635	Realizzato
A51	F/COMB180/43267_08	20.731	0,699	Realizzato
A52	Impianto industriale	189	0,019	Realizzato
A53	Impianto industriale	137	0,016	Realizzato
A54	(FCSF15269)	460	0,059	Realizzato
A55	(FCSF15270)	1.254	0,170	Realizzato
A56	(FCSF15271)	347	0,045	Realizzato
A57	(FCSF15272)	790	0,094	Realizzato
A58	(FCSF15274)	3.118	0,350	Realizzato
A59	Impianto industriale	1.105	0,097	Realizzato
A60	Impianto industriale	220	0,020	Realizzato
A61	(FCOMB18015124_08)	27.544	0,954	Realizzato
A62	(FCOMB18049209_08)	25.537	0,997	Realizzato
A63	(FCOMB18049208_08)	25.123	0,997	Realizzato
A64	(FCOMB18049206_08)	26.028	0,997	Realizzato
A65	(FCOMB18049212_08)	25.962	0,997	Realizzato
A66	(FCOMB18049207_08)	26.315	0,997	Realizzato
A67	(FCOMB18049210_08)	26.800	0,997	Realizzato
A68	(FCOMB18049214_08)	17.177	0,665	Realizzato
A69	(FCOMB18049205_08)	26.836	0,997	Realizzato
A70	(FCOMB18049211_08)	24.775	0,997	Realizzato
A71	(FCOMB18049213_08)	27.658	0,996	Realizzato
A72	(FCSF1522)	20.277	0,999	Realizzato
A73	(FCSF1523)	18.970	0,999	Realizzato
A74	(FCOMB1804869_08)	29.042	0,954	Realizzato
A76	(FCSF15258)	26.350	0,987	Realizzato
A77	(FCSF15259)	28.860	0,950	Realizzato
A78	(FCSF15260)	28.980	0,952	Realizzato
A79	(FCSF15261)	28.960	0,963	Realizzato
A80	(FCSF15262)	26.320	0,991	Realizzato
A81	(FCSF1524)	26.400	0,993	Realizzato
A82	(FCSF15248)	25.600	0,993	Realizzato
A83	(FCSF15249)	25.713	0,990	Realizzato
A84	(FCOMB18011493_09)	5.511	0,296	Realizzato
A85	(FCOMB18053071_09)	26.325	0,996	Realizzato
A86	(FCOMB1806)	25.079	0,999	Realizzato
IS2	IMPIANTO FV IN ISTRUTTORIA	117112	14,489	In fase di istruttoria
IS3	IMPIANTO FV IN ISTRUTTORIA	510777	25,066	In fase di istruttoria
IS4	IMPIANTO FV IN ISTRUTTORIA	135031	5,593	In fase di istruttoria
IS5	IMPIANTO FV IN ISTRUTTORIA	18890	4,250	In fase di istruttoria
IS6	IMPIANTO FV IN ISTRUTTORIA	180014	7,750	In fase di istruttoria
IS7	IMPIANTO FV IN ISTRUTTORIA	147339	5,920	In fase di istruttoria
IS8	IMPIANTO FV IN ISTRUTTORIA	119058	19,720	In fase di istruttoria
IS9	IMPIANTO FV IN ISTRUTTORIA	34974	8,490	In fase di istruttoria
IS10	IMPIANTO FV IN ISTRUTTORIA	66536	1,750	In fase di istruttoria
A87	F/dal 233 al 235 bis	360265	19,860	Autorizzati ma NON realizzati
A88	F/30	351064	13,688	Autorizzati ma NON realizzati

4. ALTRE CONSIDERAZIONI CIRCA GLI IMPATTI CUMULATIVI

La considerazione relativa al cumulo è espressa con riferimento ai seguenti temi:

- impatto visivo;
- patrimonio culturale e identitario;
- biodiversità ed ecosistemi;
- salute e pubblica incolumità (inquinamento acustico e elettromagnetico);
- suolo e sottosuolo.

Per quanto concerne i punti sensibili, sono state individuate nr. 10 masserie:

- a. Masseria Brancasi Nuova;
- b. Masseria Marmorelle;
- c. Masseria Marmorelle (Bene archeologico);
- d. Masseria Bianco di Napoli;
- e. Masseria Mascava Nuova;
- f. Masseria Cuggiò;
- g. Masseria Vaccaro;
- h. Masseria Baroni;
- i. Masseria Baroni Nuovi;
- j. Masseria Restinco;

nr. 4 punti sensibili dal punto di vista naturalistico indicati dal PPTR:

1. Canale "Giancola";
2. Canale "Canale dei Lapani";
3. Fosso canale segnalato dal PPTR;
4. Canale "Reale"

Ed un punto sensibile storico-culturale: Cripta di San Giovanni.



Di seguito si rappresentano le analisi condotte caso per caso.

CANALE DEI LAPANI

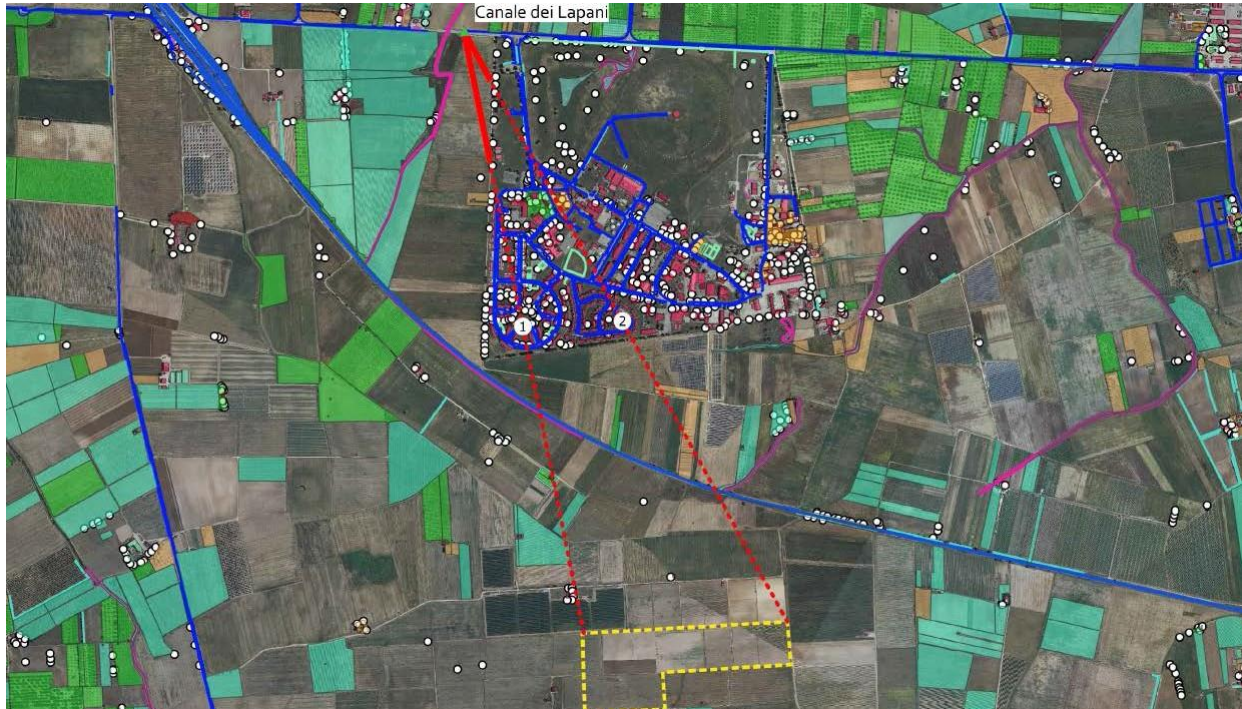


Figura 4: Analisi visiva dell'area di impianto con mappatura delle interferenze esistenti da Canale dei Lapani

In tale **Figura 4** è possibile osservare che dal Canale dei Lapani, l'impianto risulta essere invisibile a causa

della morfologia del territorio. Inoltre, come si evince dalle immagini, si presentano numerosi ostacoli visivi (immobili, alberi).

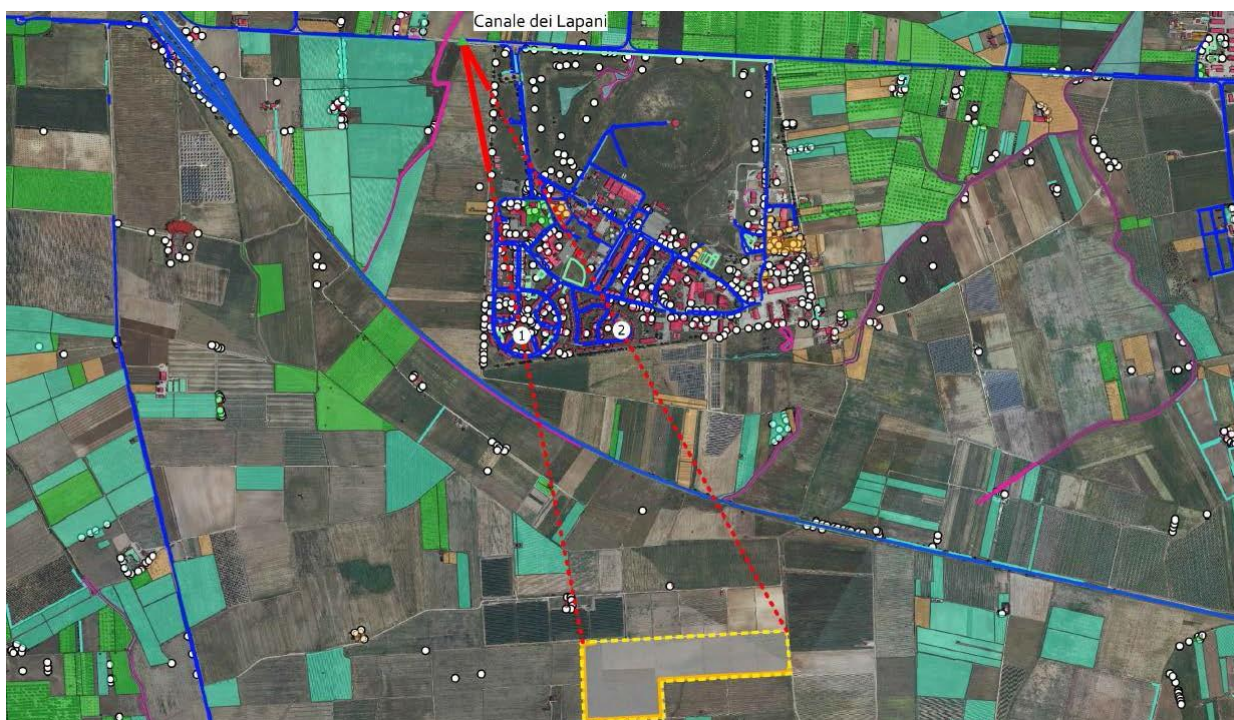


Figura 5: Analisi visiva dell'area di intervento con mappatura delle interferenze esistenti e opere di mitigazione a progetto da Canale dei Lapani.

Analizzando in dettaglio le proiezioni longitudinali il risultato è ancora più evidente e mostra come in effetti la semplice morfologia del territorio ne ostacoli la visibilità.

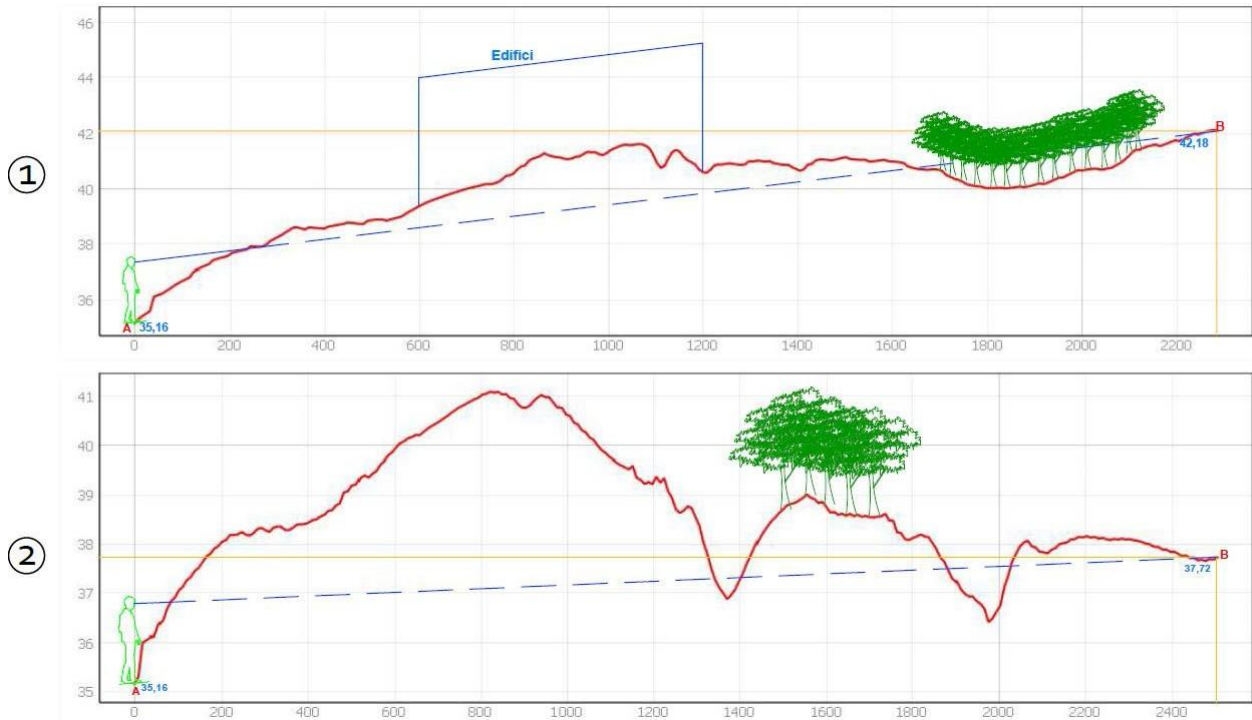


Figura 6: Profili longitudinali del terreno partendo da Canale dei Lapani.



Figura 7: Vista prospettica dell'impianto da Canale dei Lapani.

CANALE GIANCOLA

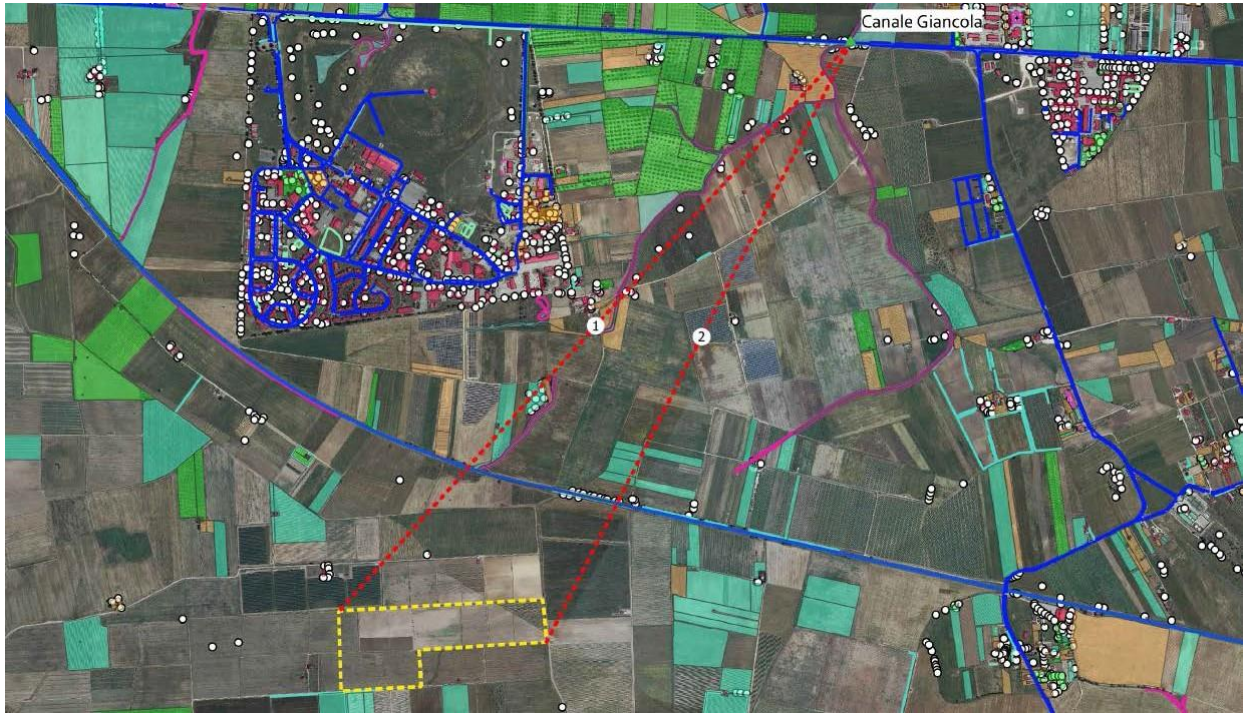


Figura 8: Analisi visiva dell'area di impianto con mappatura delle interferenze esistenti da Canale Giancola

In tale Figura 8, è evidenziabile che anche per il Canale Giancola, l'area d'impianto non è visibile a causa della morfologia del terreno. Inoltre, la presenza di alberi nelle vicinanze del punto sensibile coprono totalmente l'area d'impianto.

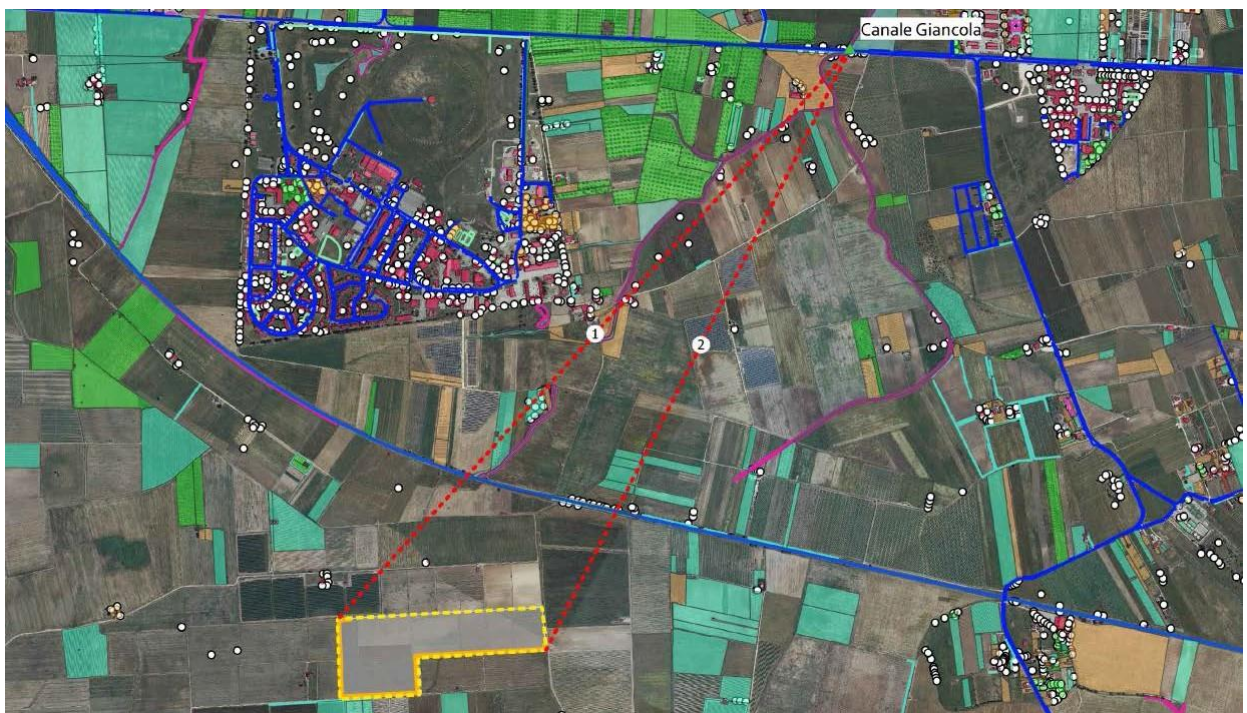


Figura 9: Analisi visiva dell'area di intervento con mappatura delle interferenze esistenti e opere di mitigazione a progetto da Canale Giancola.

Analizzando in dettaglio le proiezioni longitudinali il risultato è ancora più evidente e mostra come in effetti la vegetazione risulti essere un'importante barriera.

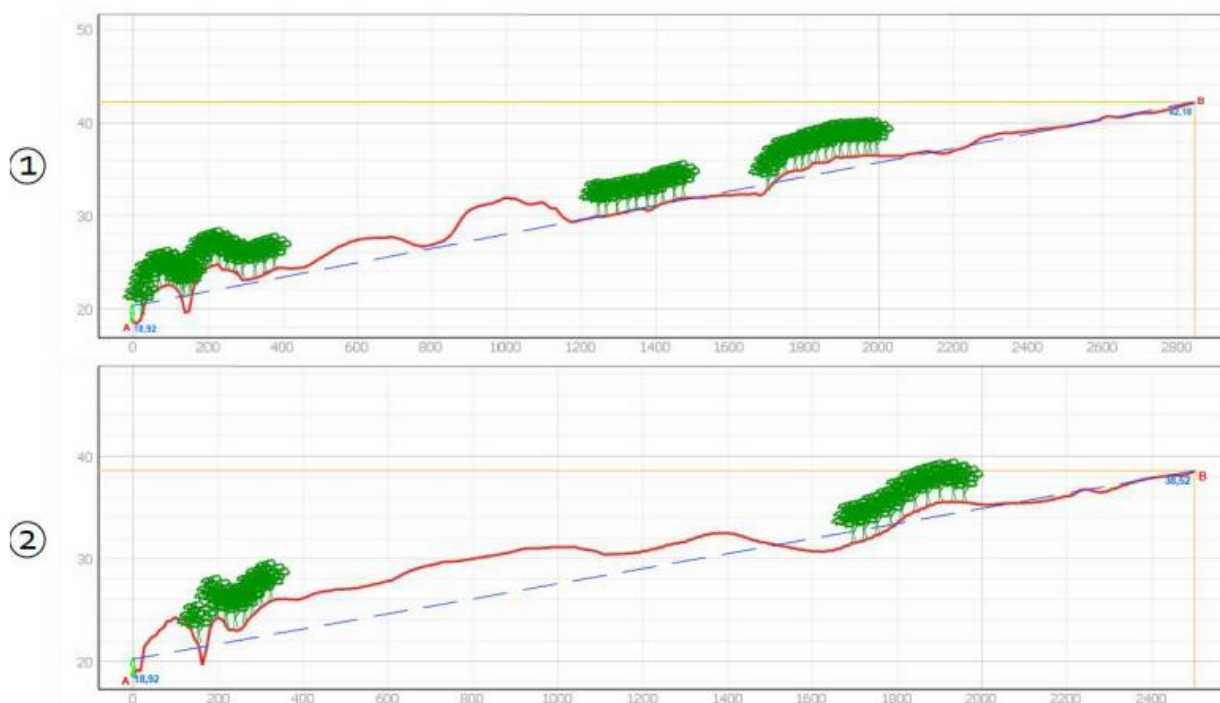


Figura 10: Profili longitudinali del terreno partendo da Canale Giancola;



Figura 11: Vista prospettica dell'impianto da Canale Giancola.

CANALE REALE



Figura 12: Analisi visiva dell'area di impianto con mappatura delle interferenze esistenti dal Canale

In tale Figura 12, è possibile osservare che il Canale Reale, è completamente immerso nella vegetazione tipica della Campagna Brindisina, e pertanto da esso diventa complicato osservare la presenza teorica dell'impianto fotovoltaico. Inoltre, osservando la vegetazione circostante, è possibile affermare che

l'impianto viene naturalmente schermato visivamente. Di base inoltre a causa della morfologia del territorio l'area d'installazione risulta invisibile.



Figura 13: Analisi visiva dell'area di intervento con mappatura delle interferenze esistenti e opere di mitigazione a progetto dal Canale Reale.

Analizzando in dettaglio le proiezioni longitudinali il risultato è ancora più evidente e mostra come in effetti la vegetazione risulti essere un'importante barriera.

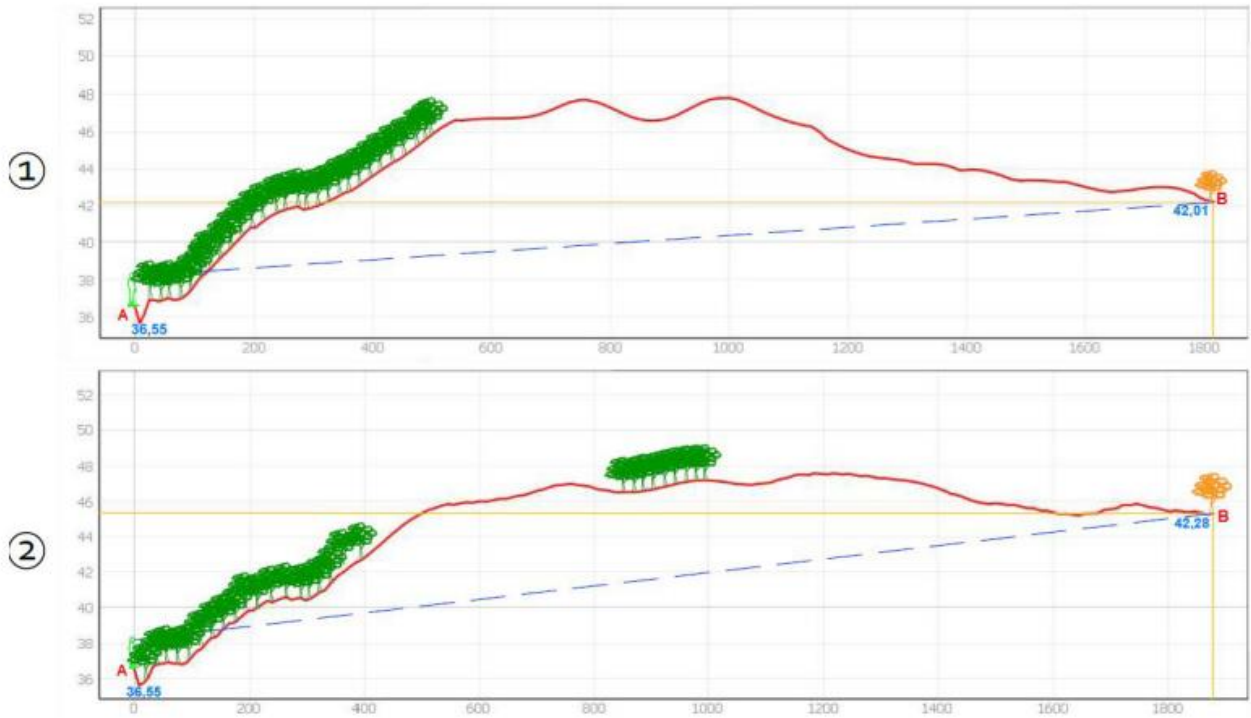


Figura 14: Profili longitudinali del terreno partendo dal Canale Reale



Figura 15: Vista prospettica dell'impianto dal Canale Reale

CANALE DI SAN GIOVANNI



Figura 16: Analisi visiva dell'area di impianto con mappatura delle interferenze esistenti dalla Cripta di San Giovanni

In tale Figura 16, è possibile osservare che la Cripta di San Giovanni risulta posta a grande distanza dall'area d'impianto ed inoltre morfologia e vegetazione circostante ne annullano la visibilità.



Figura 17: Analisi visiva dell'area di intervento con mappatura delle interferenze esistenti e opere di mitigazione a progetto dalla Cripta di San Giovanni

Analizzando in dettaglio le proiezioni longitudinali il risultato è ancora più evidente e mostra come in effetti la morfologia renda impercettibile l'area d'impianto.

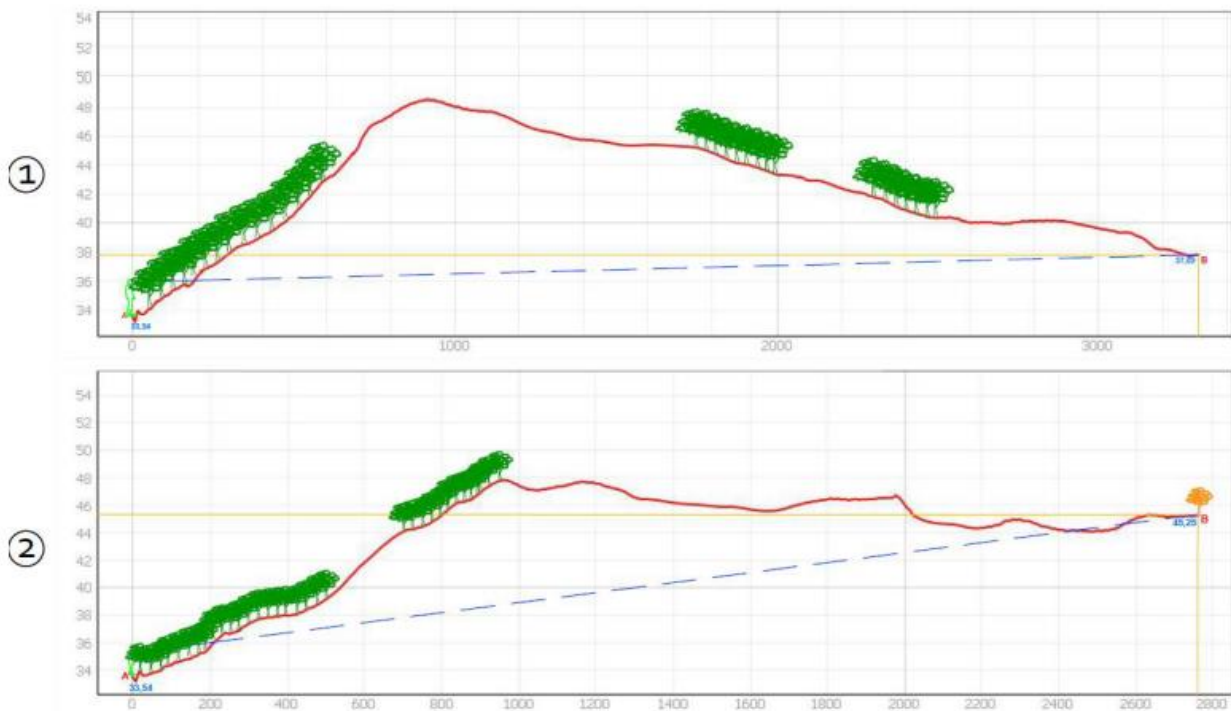


Figura 18: Profili longitudinali del terreno partendo dalla Cripta di San Giovanni



Figura 19: Vista prospettica dell'impianto dalla Cripta di San Giovanni

FOSSO CANALE SEGNALATO DA PPTR



Figura 20: Analisi visiva dell'area di impianto con mappatura delle interferenze esistenti dal Fosso Canale segnalato dal PPTR

In tale Figura 20, è possibile osservare che dal Fosso Canale segnalato dal PPTR la visuale viene coperta in parte dalla vegetazione. La maggior parte dell'area d'impianto risulta essere invisibile a causa della

morfologia del terreno.



Figura 21: Analisi visiva dell'area di intervento con mappatura delle interferenze esistenti e opere di mitigazione a progetto dal Fosso Canale segnalato dal PPTR

Analizzando in dettaglio le proiezioni longitudinali il risultato è ancora più evidente e mostra come in effetti la morfologia e la presenza di vegetazione esistente renda impercettibile l'area d'impianto.



Figura 22: Profili longitudinali del terreno partendo dal Fosso Canale segnalato dal PPTR



Figura 23: Vista prospettica dell'impianto dal Fosso Canale segnalato dal PPTR

MASSERIA BARONI



Figura 24: Analisi visiva dell'area di impianto con mappatura delle interferenze esistenti da Masseria Baroni

In tale Figura 24, è possibile osservare che da Masseria Baroni l'area risulta essere invisibile a causa della morfologia del territorio.

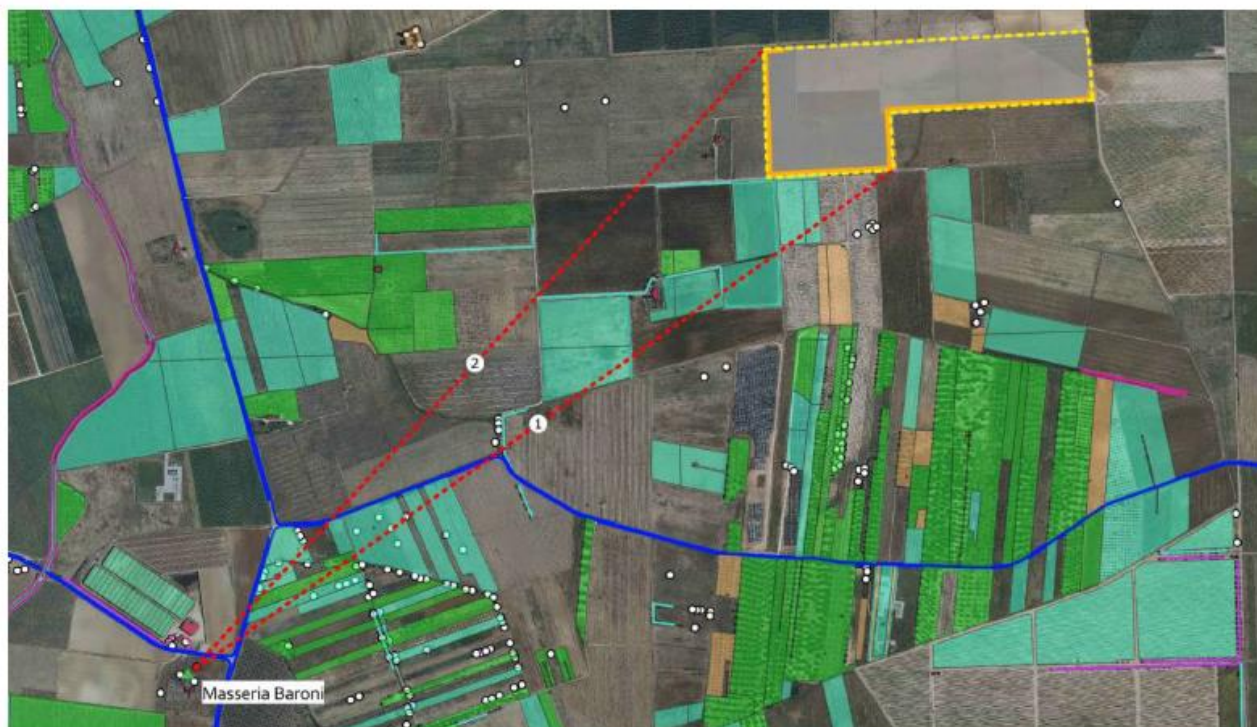


Figura 25: Analisi visiva dell'area di intervento con mappatura delle interferenze esistenti e opere di mitigazione a progetto da Masseria Baroni.

Analizzando in dettaglio le proiezioni longitudinali il risultato è ancora più evidente e mostra come in effetti la morfologia e la presenza di vegetazione esistente renda impercettibile l'area d'impianto.

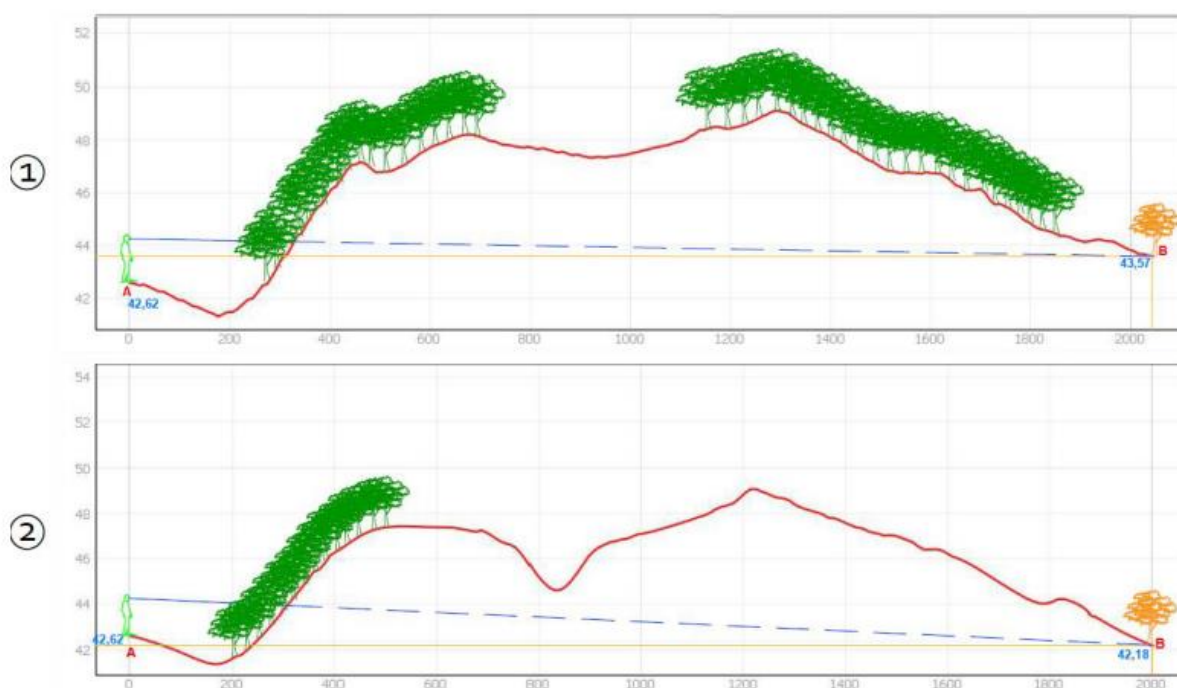


Figura 26: Profili longitudinali del terreno partendo da Masseria Baroni



Figura 27: Vista prospettica dell'impianto da Masseria Baroni

MASSERIA BARONI NUOVA



Figura 28: Analisi visiva dell'area di impianto con mappatura delle interferenze esistenti da Masseria Baroni Nuova.

In tale Figura 28, è possibile osservare che da Masseria Baroni Nuova l'area risulta essere invisibile a causa della morfologia del territorio.



Figura 29: Analisi visiva dell'area di intervento con mappatura delle interferenze esistenti e opere di mitigazione a progetto da Masseria Baroni Nuova

Analizzando in dettaglio le proiezioni longitudinali il risultato è ancora più evidente e mostra come in effetti la morfologia e la presenza di vegetazione esistente renda impercettibile l'area d'impianto.

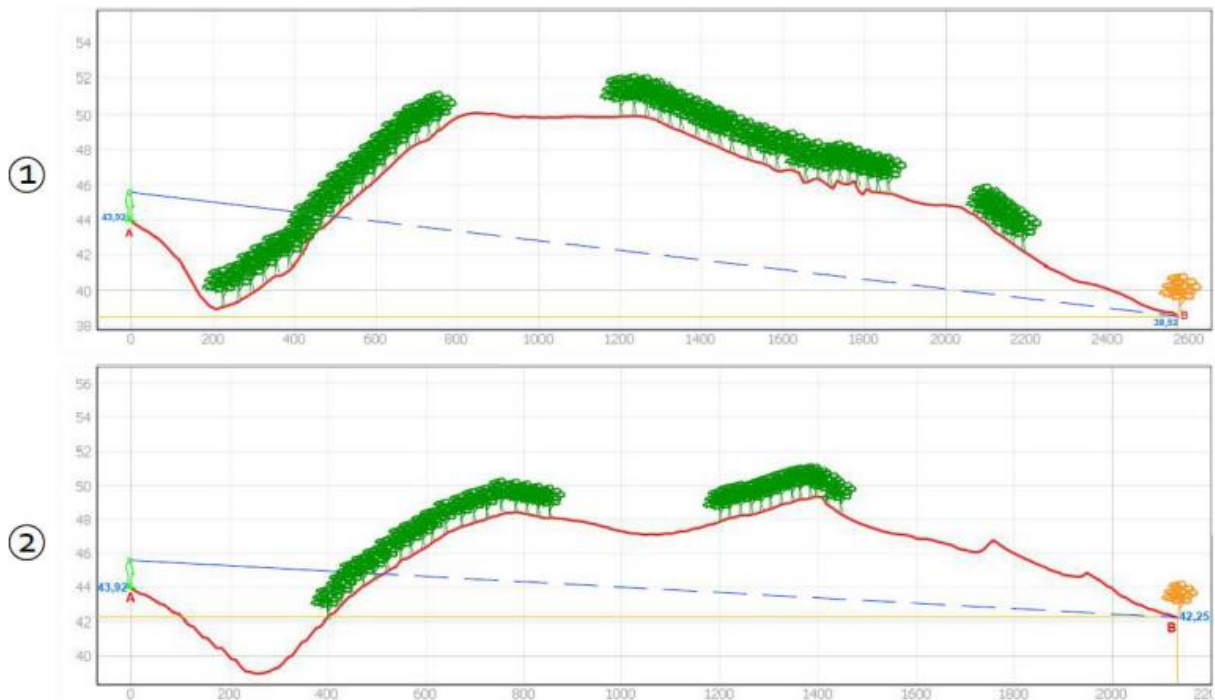


Figura 30: Profili longitudinali del terreno partendo da Masseria Baroni Nuova



Figura 31: Vista prospettica dell'impianto da Masseria Baroni Nuova

MASSERIA BIANCO DI NAPOLI



Figura 32: Analisi visiva dell'area di impianto con mappatura delle interferenze esistenti da Masseria Bianco di Napoli.

In tale Figura 32, è possibile osservare che da Masseria Bianco di Napoli, l'area d'impianto non risulta

essere visibile grazie alle opere di mitigazioni ed alla vegetazione esistente (composta essenzialmente da filari di alberi).



Figura 33: Analisi visiva dell'area di intervento con mappatura delle interferenze esistenti e opere di mitigazione a progetto da Masseria Bianco di Napoli

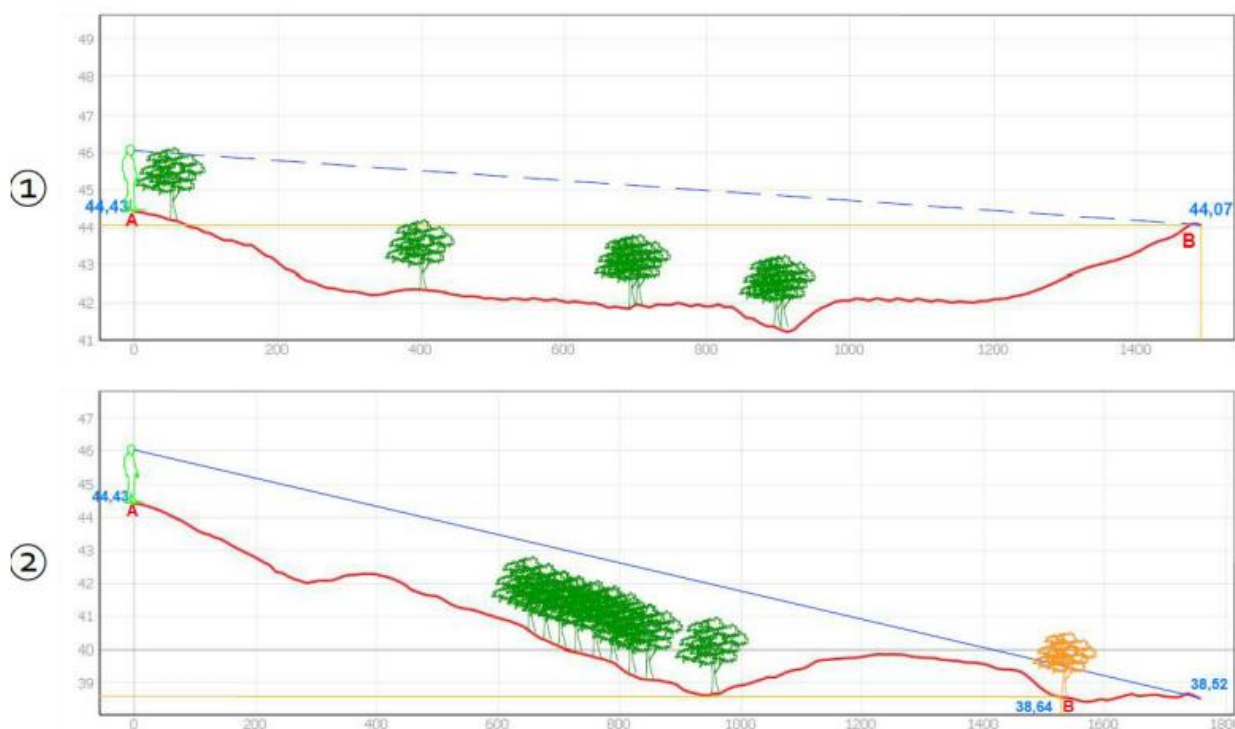


Figura 34: Profili longitudinali del terreno partendo da Masseria Bianco di Napoli



Figura 35: Vista prospettica dell'impianto da Masseria Bianco di Napoli

MASSERIA BRANCASI NUOVA



Figura 36: Analisi visiva dell'area di impianto con mappatura delle interferenze esistenti da Masseria Brancasi Nuova.

In tale Figura 36, è possibile osservare che da Masseria Brancasi Nuova l'area d'impianto risulta essere

impercettibile a causa della morfologia del territorio e dalla presenza di folta vegetazione, come è testimoniabile da dal profilo longitudinale del terreno.

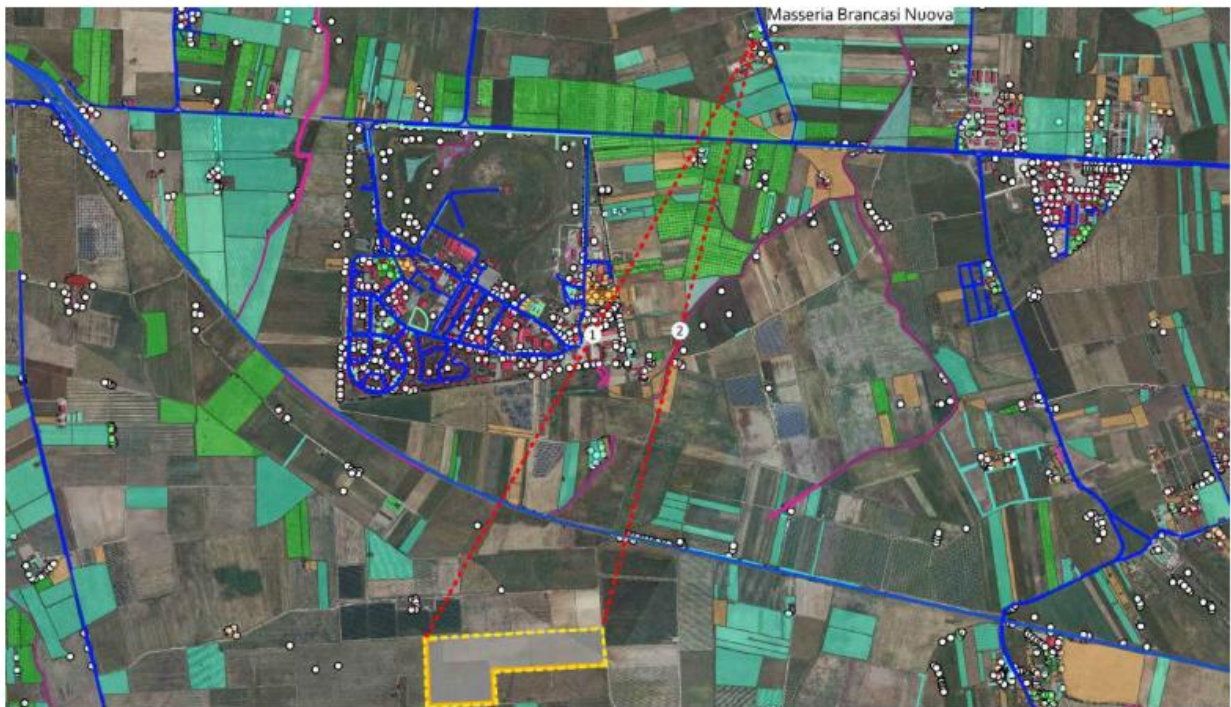


Figura 37: Analisi visiva dell'area di intervento con mappatura delle interferenze esistenti e opere di mitigazione a progetto da Masseria Brancasi Nuova

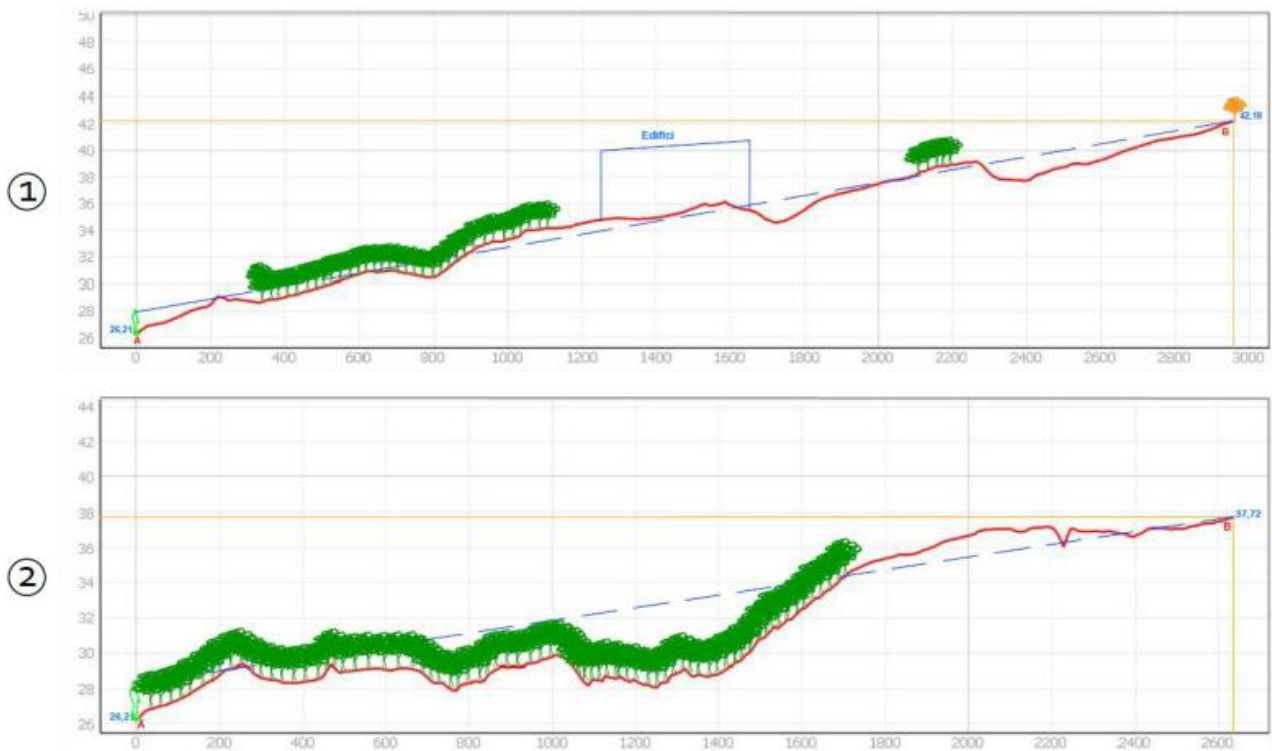


Figura 38: Profili longitudinali del terreno partendo da Masseria Brancasi Nuova



Figura 39: Vista prospettica dell'impianto da Masseria Brancasi Nuova

MASSERIA CUGGIO'



Figura 40: Analisi visiva dell'area di impianto con mappatura delle interferenze esistenti da Masseria Cuggio'.

In tale Figura 40, è possibile osservare che da Masseria Cuggio' l'area d'impianto risulta essere invisibile a causa della morfologia del territorio.



Figura 41: Analisi visiva dell'area di intervento con mappatura delle interferenze esistenti e opere di mitigazione a progetto da Masseria Cuggiò

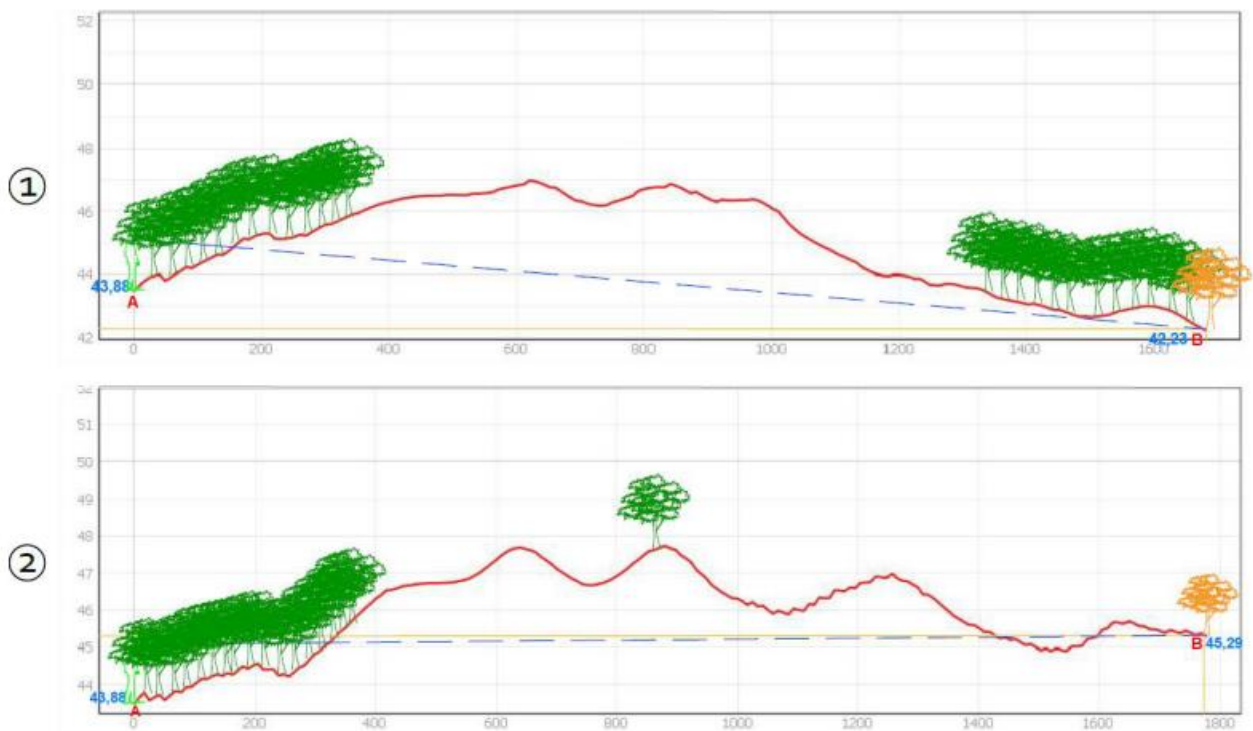


Figura 42: Profili longitudinali del terreno partendo da Masseria Cuggiò



Figura 43: Vista prospettica dell'impianto da Masseria Cuggiò

MASSERIA MARMORELLE

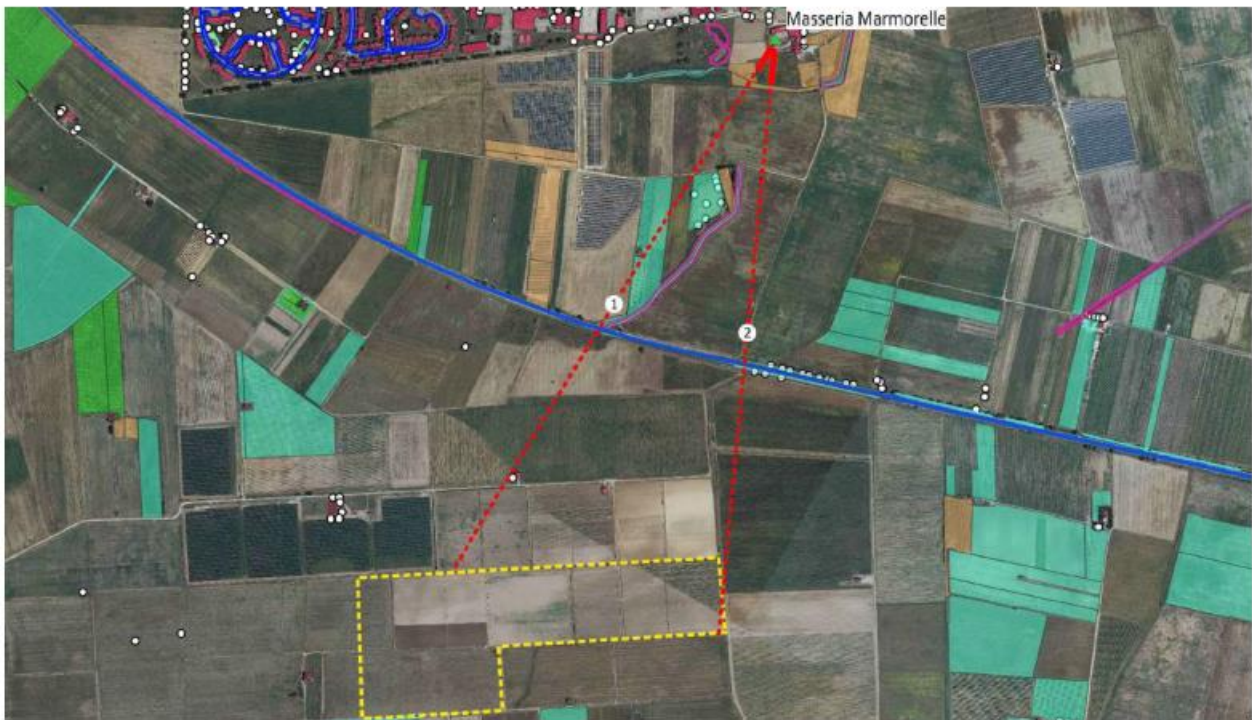


Figura 44: Analisi visiva dell'area di impianto con mappatura delle interferenze esistenti da Masseria Marmorelle.

In tale Figura 44, è possibile osservare che da Masseria Marmorelle è posta a grande distanza dall'impianto (oltre 1 km). Inoltre, la presenza di vegetazione a macchie mitiga naturalmente l'impatto

visivo.

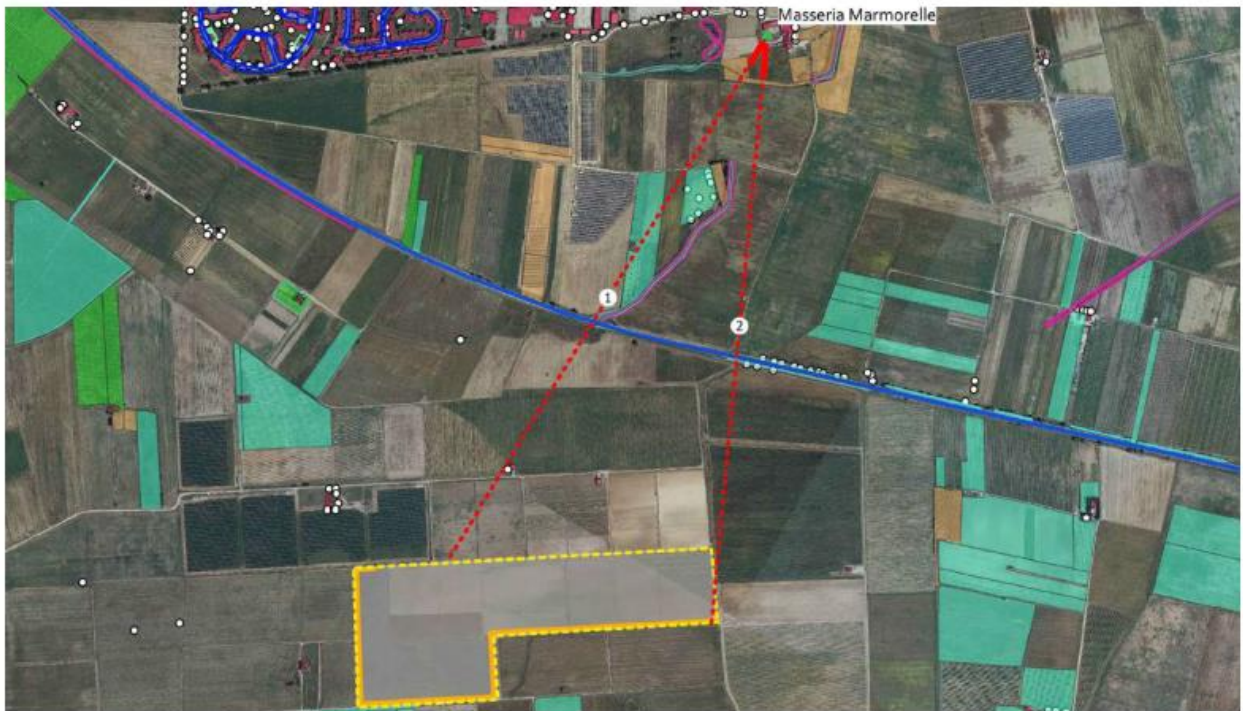


Figura 45: Analisi visiva dell'area di intervento con mappatura delle interferenze esistenti e opere di mitigazione a progetto da Masseria Marmorelle

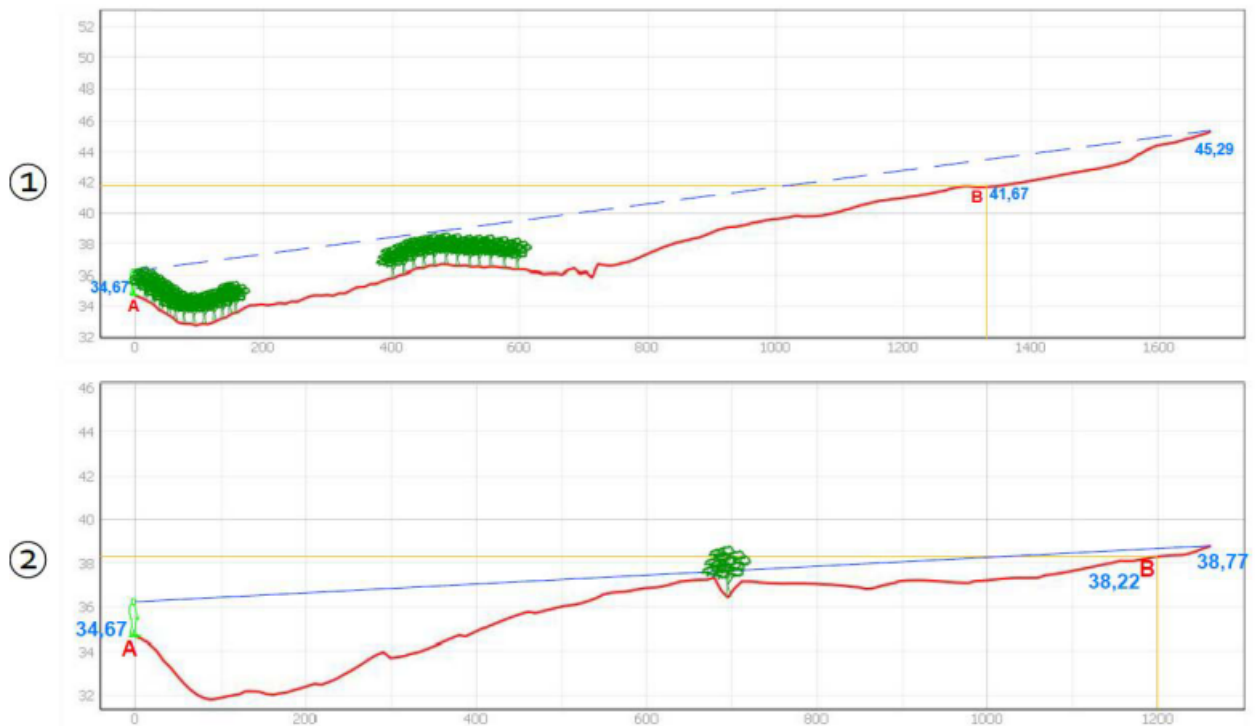


Figura 46: Profili longitudinali del terreno partendo da Masseria Marmorelle



Figura 47: Vista prospettica dell'impianto da Masseria Marmorelle

MASSERIA MARMORELLE (Bene Archeologico individuato dal PPTR)



Figura 48: Analisi visiva dell'area di impianto con mappatura delle interferenze esistenti da Masseria Marmorelle (Bene Archeologico).

In tale Figura 48, è possibile osservare che da Masseria Marmorelle (Bene Archeologico individuato dal PPTR) è posta a grande distanza dall'impianto (oltre 2 km). Inoltre, la presenza di vegetazione a

macchie mitiga naturalmente l'impatto visivo. Figura 48: Analisi visiva dell'area di impianto con mappatura delle interferenze esistenti da Masseria Marmorelle (Bene Archeologico) . In tale Figura 48, è possibile osservare che da Masseria Marmorelle (Bene Archeologico individuato dal PPTR) è posta a grande distanza dall'impianto (oltre 2 km). Inoltre, la presenza di vegetazione a macchie mitiga naturalmente l'impatto visivo.



Figura 49: Analisi visiva dell'area di intervento con mappatura delle interferenze esistenti e opere di mitigazione a progetto da Masseria Marmorelle (Bene Archeologico)

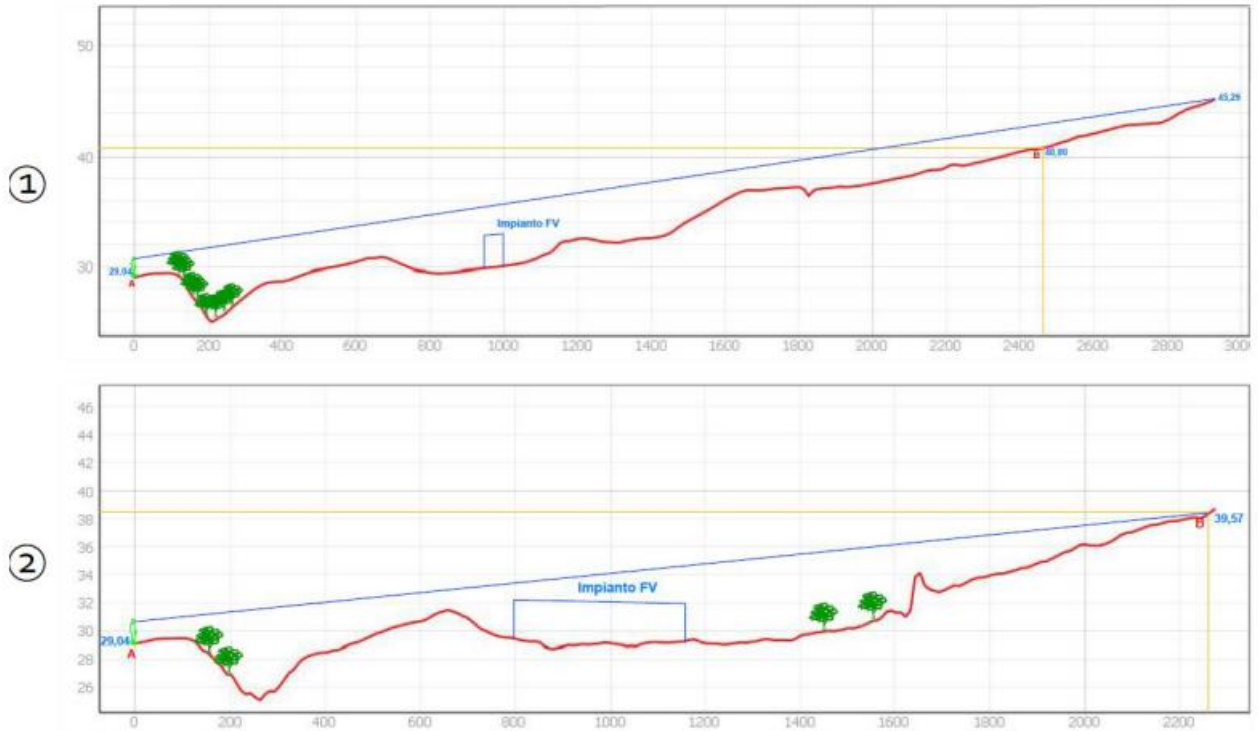


Figura 50: Profili longitudinali del terreno partendo da Masseria Marmorelle (Bene Archeologico)

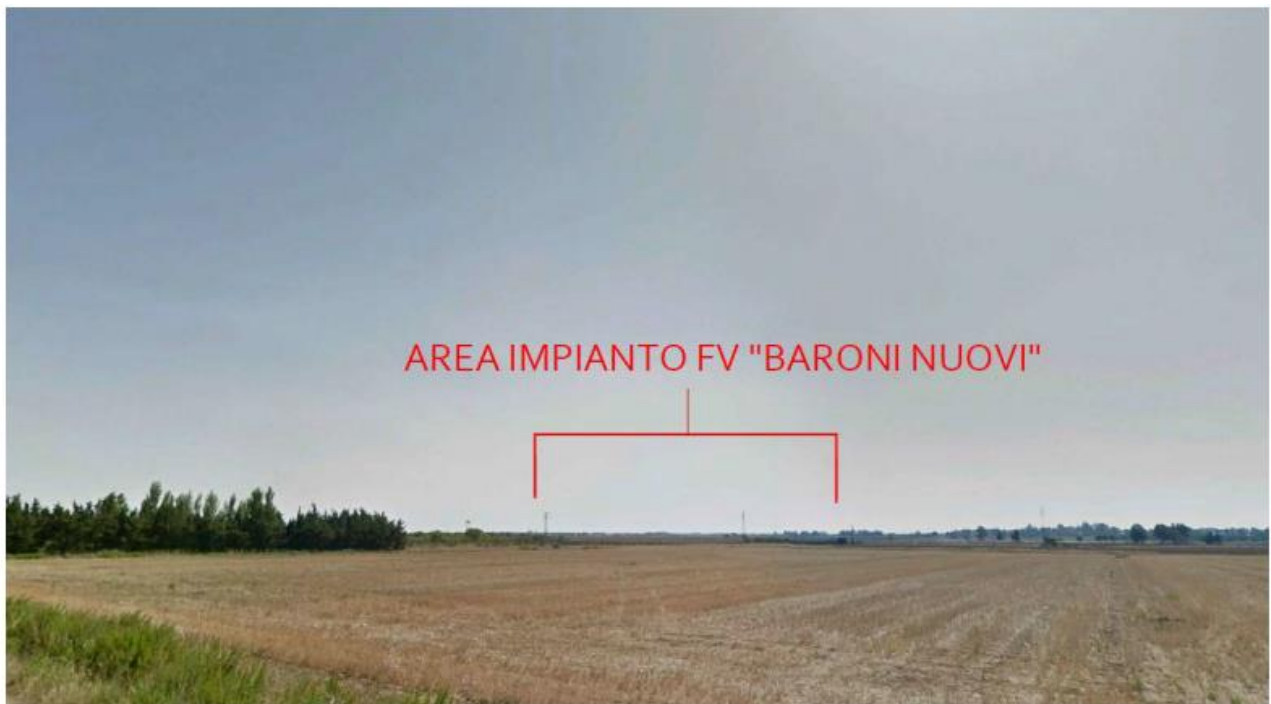


Figura 51: Vista prospettica dell'impianto da Masseria Marmorelle (Bene Archeologico)

MASSERIA MASCAVA NUOVA



Figura 52: Analisi visiva dell'area di impianto con mappatura delle interferenze esistenti da Masseria Mascava Nuova.

In tale Figura 52, è possibile osservare che da Masseria Mascava Nuova l'area d'impianto non risulta essere visibile a causa della folta vegetazione presente e della morfologia del terreno, come è meglio evidenziabile nei profili longitudinali del terreno.



Figura 53: Analisi visiva dell'area di intervento con mappatura delle interferenze esistenti e opere di mitigazione a progetto da Masseria Mascava Nuova

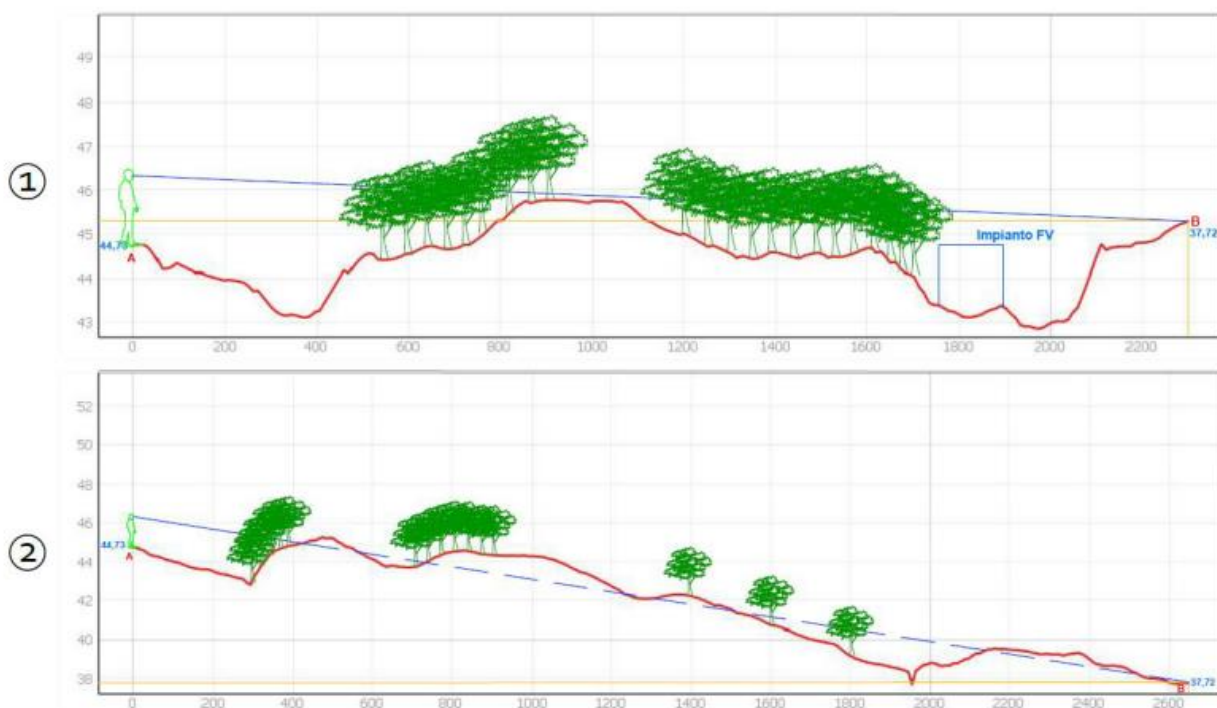


Figura 54: Profili longitudinali del terreno partendo da Masseria Mascava Nuova



Figura 55: Vista prospettica dell'impianto da Masseria Mascava Nuova

MASSERIA RESTINCO



Figura 56: Analisi visiva dell'area di impianto con mappatura delle interferenze esistenti da Masseria Restinco.

In tale Figura 56, è possibile osservare che da Masseria Restinco l'area risulterebbe teoricamente visibile, ma a causa della grande distanza dall'area d'impianto (quasi 3 Km) l'impatto visivo risulta quasi

totalmente annullato.



Figura 57: Analisi visiva dell'area di intervento con mappatura delle interferenze esistenti e opere di mitigazione a progetto da Masseria Restinco

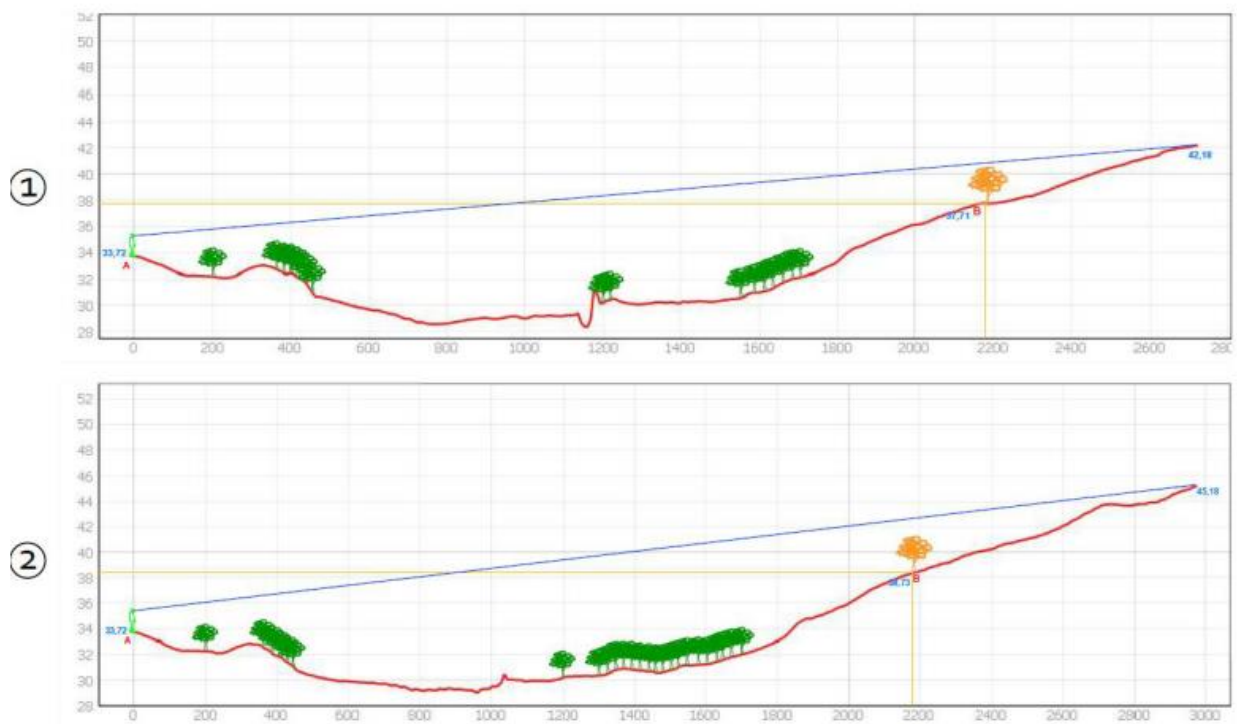


Figura 58: Profili longitudinali del terreno partendo da Masseria Restinco



Figura 59: Vista prospettica dell'impianto da Masseria Restinco

MASSERIA VACCARO



Figura 60: Analisi vsiva dell'area di impianto con mappatura delle interferenze esistenti da Masseria Vaccaro.

In tale Figura 60, è possibile osservare che l'area d'impianto risulta essere invisibile a causa della morfologia del terreno.



Figura 61: Analisi visiva dell'area di intervento con mappatura delle interferenze esistenti e opere di mitigazione a progetto da Masseria Vaccaro

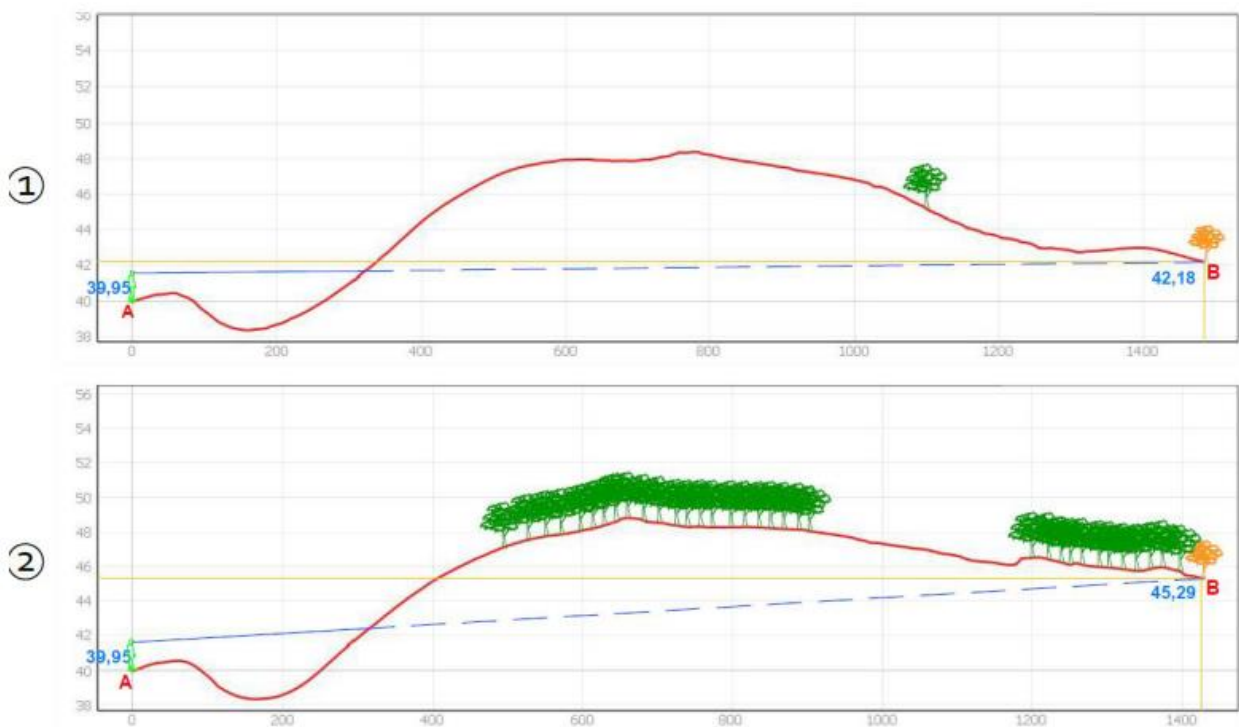


Figura 62: Profili longitudinali del terreno partendo da Masseria Vaccaro



Figura 63: Vista prospettica dell'impianto da Masseria Vaccaro